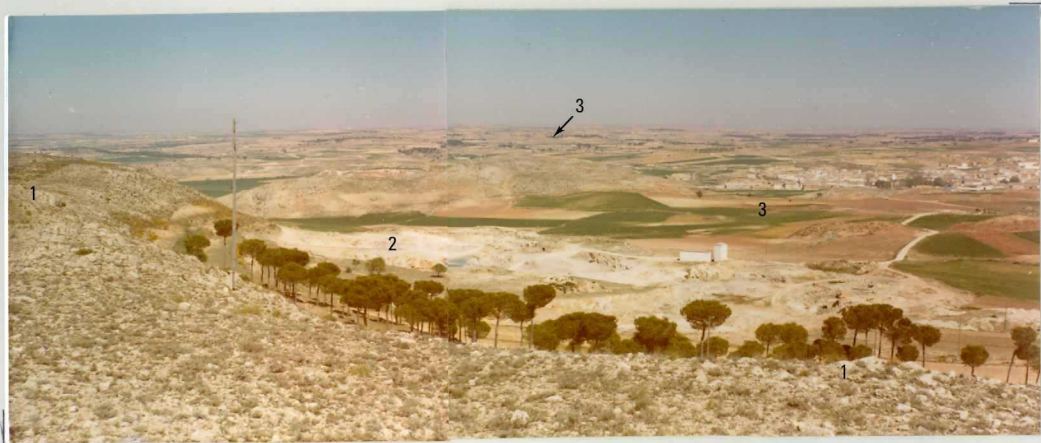




LB. 2310.

DETALLE DE LAS DOLOMIAS DEL TRIASICO
SUPERIOR (T_{63}^d) EN LAS PROXIMIDADES
DE FUENTEALBILLA.



LB. 2311.

VISTA PARCIAL DEL AFLORAMIENTO TRIASICO DEL FUENTEALBILLA.

- 1.- DOLOMIAS Y CARNIOLAS DEL TRIASICO SUPERIOR (T_{G3}^d).
- 2.- YESOS EN FACIES KEUPER (T_{G3}^{ay}).
- 3.- DEPOSITOS NEOGENOS.



LB. 2312.

PANORAMICA DE LAS FORMACIONES TRIASICAS Y TERCARIAS AL SUR DE FIENTEALBILLA, EN LA RAMBLA LAS CARBONERAS.

- 1.- YESOS Y ARCILLAS EN FACIES KEUPER (T_{G3}^{ay}).
- 2.- DOLOMIAS Y CARNIOLAS DEL TRIASICO SUPERIOR (T_{G3}^d).
- 3.- CALIZAS DEL OLIGOCENO-MIOCENO INFERIOR (T_{33-11}^{A-3a}).
- 4.- DEPOSITOS NEOGENOS.



LB. 2313.

VISTA PARCIAL DE LAS CALIZAS DEL OLIGOCENO-MIOCENO INFERIOR, AL SO.
DE FUENTEALBILLA. (T^{A-Ba}₃₃₋₁₁).



LB. 2314.

VISTA PARCIAL DE LAS CALIZAS DEL OLIGOCENO-MIOCENO INFERIOR (T_{33-11}^{A-Ba}) POR ENCIMA, Y EN CLARA DISCORDANCIA ANGULAR, LOS DEPOSITOS CALCAREOS Y DETRITICOS DEL NEOGENO (T_{c12-21}^{Bc2-3}).



LB. 2315.

VISTA PARCIAL DE LOS DEPOSITOS CALCAREOS, DETRITICOS Y CALCODETRTICOS DEL NEOGENO (Tcg_{c12-21}^{3c2-8}), EN LA RAMBLA LAS CARBONERAS.



LB. 2316.

VISTA PARCIAL DE UN NIVEL CALCAREO
PERTENECIENTE AL NEOGENO, EN EL CERRO
LAS CARBONERAS (Tcg^{8c2-3}_{c12-21}).

LB. 2317.

DETALLE UN NIVEL CONGLOMERATICO PERTENECIENTE A LA BASE DE LOS DEPOSITOS NEOGENOS (Tc_{8c2-3}
 $c1-2-21$)
EN EL CERRO LAS CARBONERAS.





LB. 2318.

VISTA PARCIAL DE LOS DEPOSITOS NEOGENOS, EN LA CAÑADA DEL CARDEAL. EN PRIMER TERMINO, DEPOSITOS ALUVIALES.

1.- $T_{cg}^{8c2-B}_{c12-21}$

2.- $T_{cm}^{8c2-B}_{c12-21}$



LB. 2319.

VISTA PARCIAL DE LOS DEPOSITOS NEOGENOS, EN ABENGIBRE.

1.- ARENAS, ARENISCAS Y CALIZAS (Tc_g^{Bc2-3}
 $c12-21$)

2.- CALIZAS Y MARGOCALIZAS (Tc_m^{Bc2-8}
 $c12-21$)



LB. 2320.

VISTA PARCIAL DE LOS DEPÓSITOS CALCAREOS Y CALCOMARGOSOS DEL NEOGENO (T_{cm}^{8c2-8}
 $c12-21$)
EN EL PK 141°500 DE LA CARRETERA DE ALBACETE A CASAS IBÁÑEZ.



LB. 2321

VISTA PARCIAL DE UN NIVEL DE MARGAS LIGNITÍFERAS, CON ABUNDANTE FAUNA, INTERCALADO ENTRE LAS CALIZAS Y MARGOCALIZAS DEL NEOGENO ($T_{cm}^{Bc2-Bc12-21}$), EN EL PK 141'500 DE LA CARRETERA DE ALSACETE A CASAS IBÁÑEZ.



LB.2322.

DETALLE DEL NIVEL DE MARGAS LIGNITIFERAS DE LA FOTOGRAFIA ANTERIOR. OBSERVESE LA ABUNDANTE FAUNA QUE PRESENTA.



LB. 2323.

VISTA PARCIAL DE LOS NIVELES CALCAREOS Y CALCOMARGOSOS DEL TECHO DE LA FORMACION
 (T_{cm}^{3c2-3} _{c12-21}), AL NE. DEL CERRO DEL PORTILLO. AL FONDO DEPOSITOS PLIOCUATERNARIOS
 (Ta_m^B _{2-Q1}).



LB. 2324.

DETALLE DE UN NIVEL DETRITICO CEMENTADO DEL PLIOCUATERNARIO ($T_{cm}^B-Q_1$), EN LAS PROXIMIDADES DE MOTILLEJA.



LB.2325.

VISTA PARCIAL DE LA FORMACION DE GRAVAS SILICEAS CUATERNARIAS (Q_1), EN LOS
LLANOS DE LA MUELA, AL SE. DE MOTILLEJA.



LB. 2326.

DEPOSITOS ALUVIALES (Q_2A1), EN VILLAGARCIA DEL LLANO.



LB. 2327.

DEPOSITOS DE TERRAZA ($Q_{1-2}T$), ACTUALMENTE EN EXPLOTACION, AL N DE FUENTEALBILLA,
EN LA RAMBLA DE VILLADORES.



LB. ~~2200~~ 2398

VISTA PARCIAL DE UNA CANTERA DE YESOS EN FACIES KEUPER (T_{G3}^{cy}) EN LAS PROXIMIDADES DE FUENTEALBILLA. EN LA PARTE SUPERIOR, DOLOMIAS Y CARNIOLAS DEL TRIASICO SUPERIOR (T_{G3}^d)